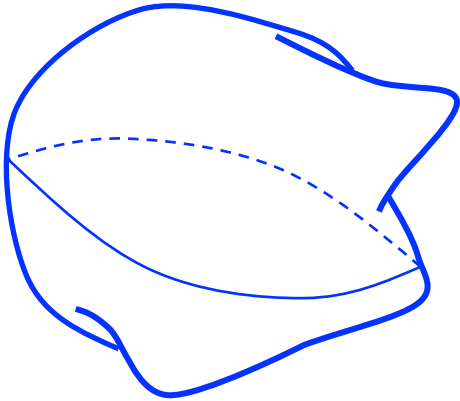
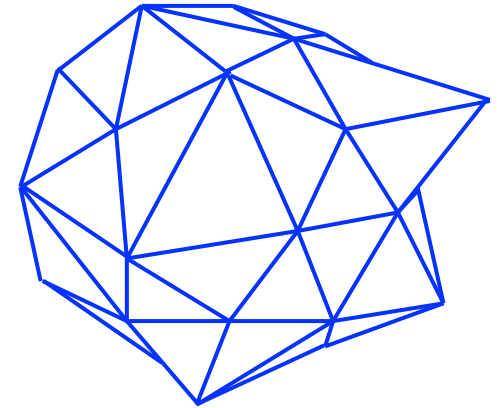


3次元 Lorentz型 Quantum Regge Calculusの テンソルネットワーク表現



佐藤 勇貴
(福井大学)



2024年9月2日

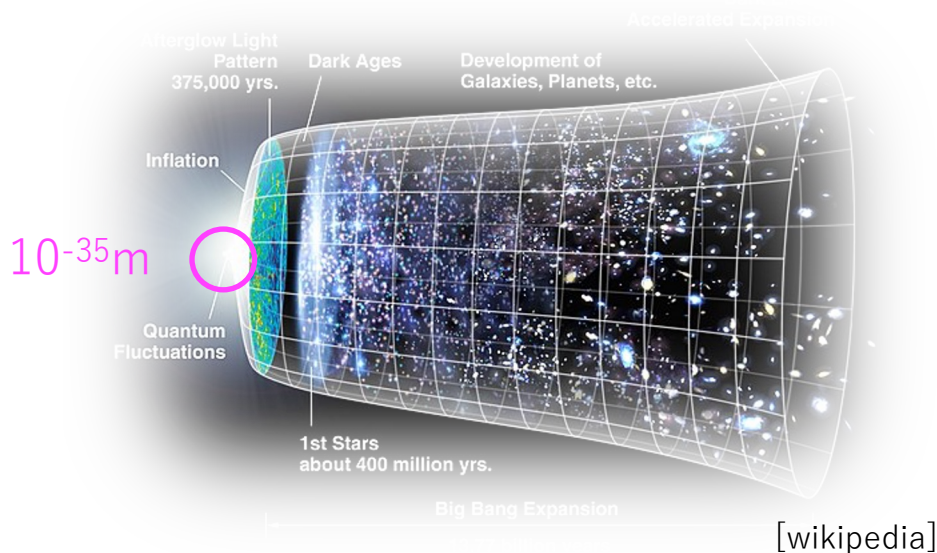
cf. Y. Ito, D. Kadoh and YS, Phys. Rev. D 106 (2022) no.10, 106004

離散的手法による場と時空のダイナミクス2024@東京工業大学

量子重力理論としてのQRC

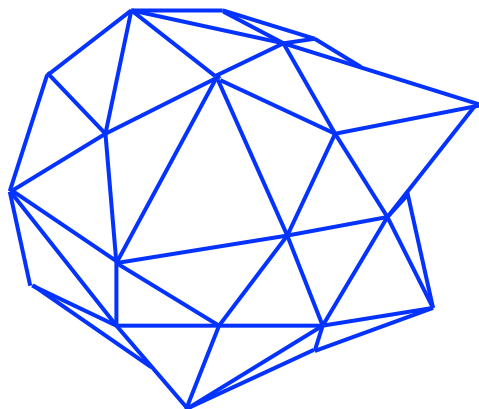
なぜ量子重力理論が必要か？

宇宙開闢の謎を解明するため



量子重力理論の候補は色々あるが...

離散的手法による **Quantum Regge Calculus (QRC)** を考える



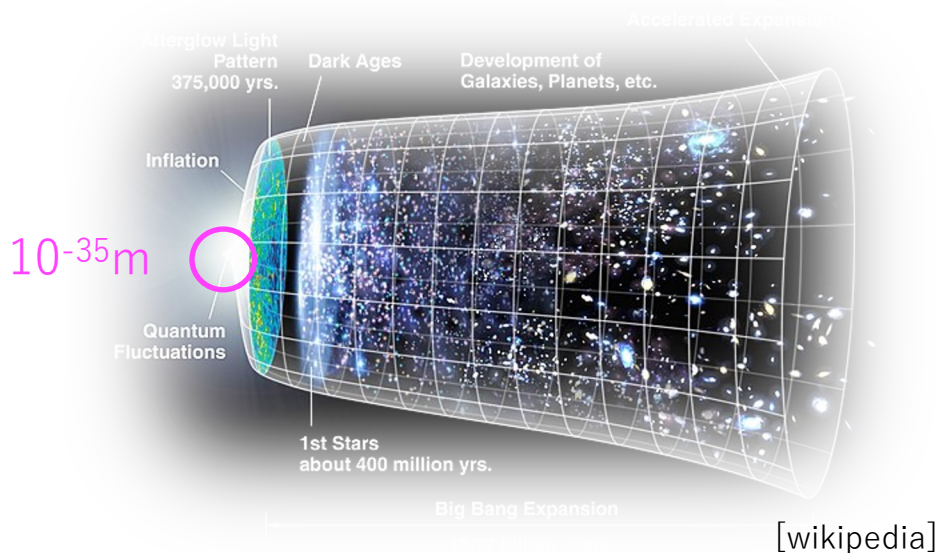
時空を単体分割する（単体分割は固定）

力学変数 = 単体の **辺の長さ**

量子重力理論としてのQRC

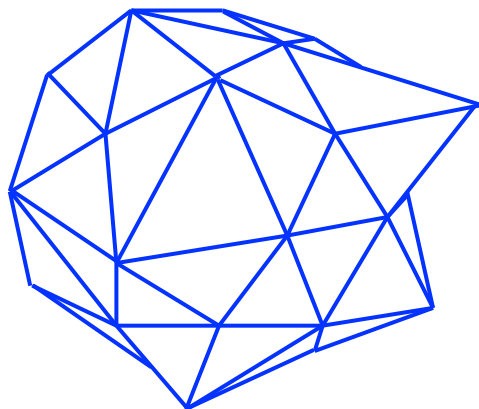
なぜ量子重力理論が必要か？

宇宙開闢の謎を解明するため



量子重力理論の候補は色々あるが...

離散的手法による**Quantum Regge Calculus (QRC)**を考える



特に**Lorentz型QRC**を解析したい：

一般化されたシンブルを用いたアプローチ

[Jia, 2021]

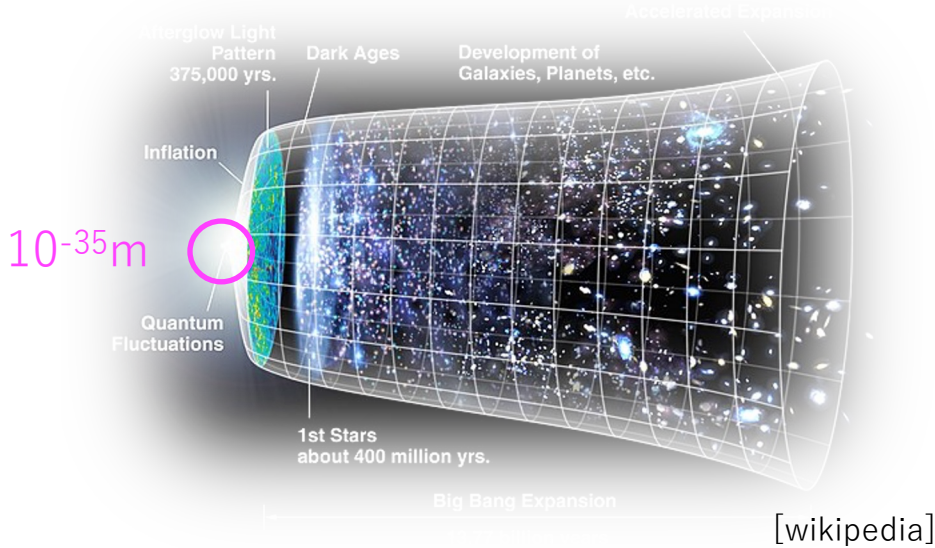
テンソルネットワーク法を用いたアプローチ

[Ito-Kadoh-Sato, 2022]

量子重力理論としてのQRC

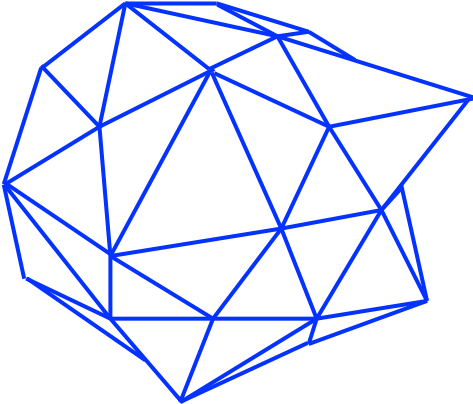
なぜ量子重力理論が必要か？

宇宙開闢の謎を解明するため



量子重力理論の候補は色々あるが...

離散的手法による **Quantum Regge Calculus (QRC)** を考える



特に **Lorentz型QRC** を解析したい：

一般化されたシンブルを用いたアプローチ

[Jia, 2021]

テンソルネットワーク法を用いたアプローチ
このお話をします [Ito-Kadoh-Sato, 2022]

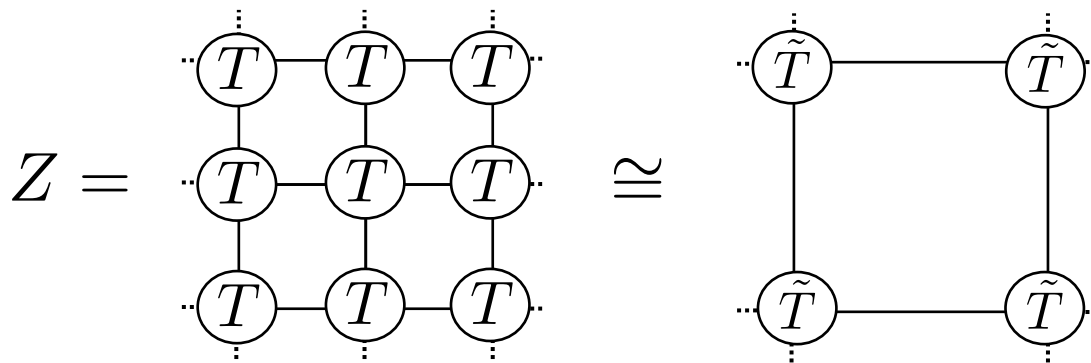
テンソル繰り込み群 (TRG) [Lavin-Nave, 2007]

TRGは分配関数を以下の方法で数値的に計算する手法である：

(1) 分配関数を縮約されたテンソルの積（テンソルネットワーク）で表現する

$$Z = T_{abcd}T_{aefg} \cdots \quad T_{abcd} \longleftrightarrow \begin{array}{c} c \\ | \\ a - (T) - b \\ | \\ d \end{array}$$

(2) テンソルネットワークを効率的に粗視化する



利点:

統計的取り扱いをしないため、符号問題がない (cf. Lefschetz thimble, complex Langevin)

比較的大きな格子サイズの取り扱いが可能

Outline

1. ~~導入~~

2. Regge Calculus

3. Lorentz型 Regge Calculus

4. Lorentz型 Quantum Regge Calculus

5. 3次元Lorentz型QRC

6. まとめと展望

論文未投稿のため
共有版で削除しました

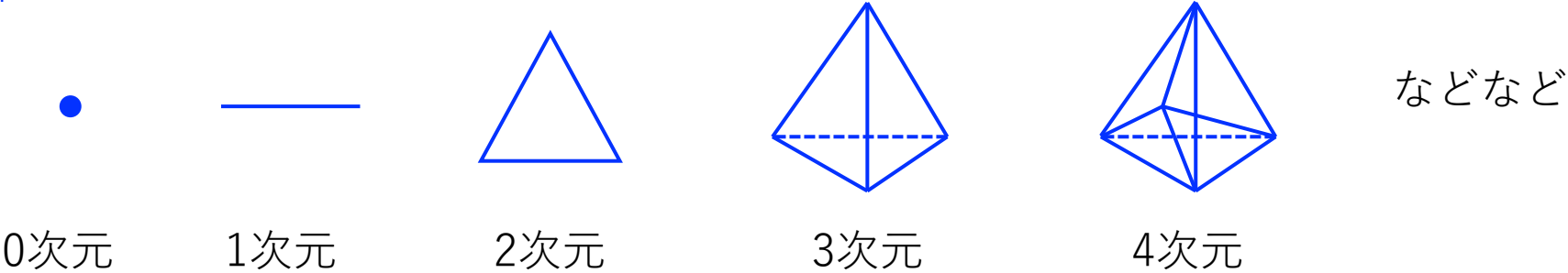
Regge Calculus

Regge Calculus [Regge, 1961]

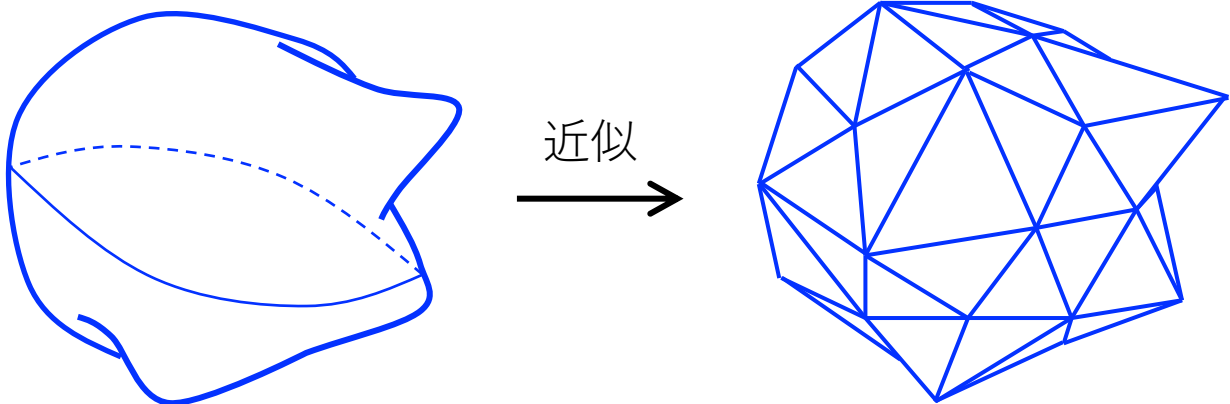
Regge Calculusとは？

連続時空を単体複体で近似して、座標を導入せず時空の力学を記述する方法

単体とは？



2次元単体複体の例：

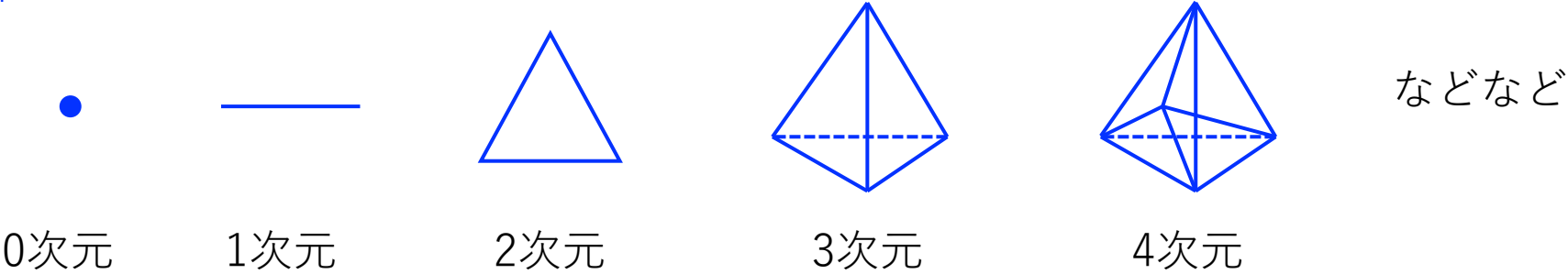


Regge Calculus [Regge, 1961]

Regge Calculusとは？

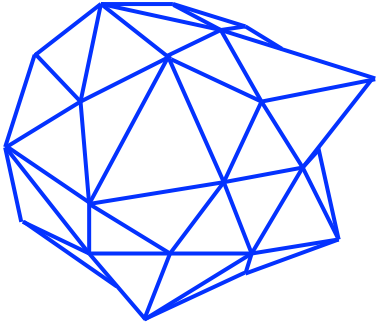
連続時空を単体複体で近似して、座標を導入せず時空の力学を記述する方法

単体とは？



重要事項：

1. 単体の内部は平坦時空
2. 時空の曲率は余次元2の単体 (=hinge) での円錐特異点で表される

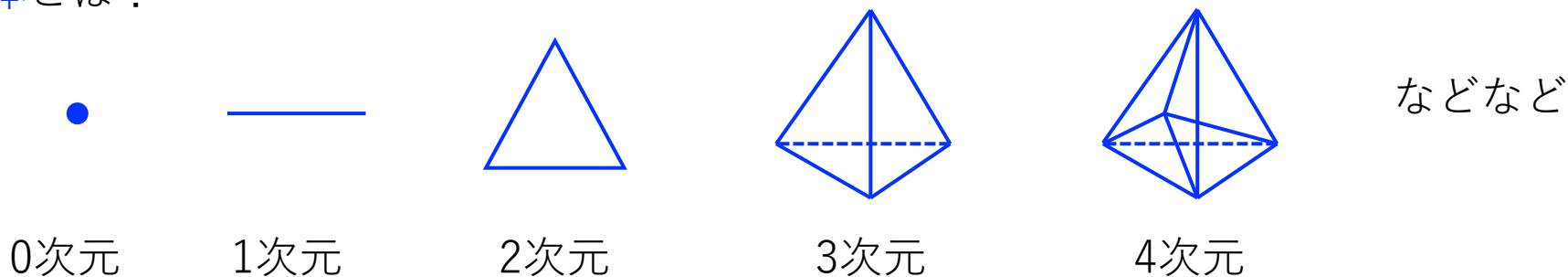


Regge Calculus [Regge, 1961]

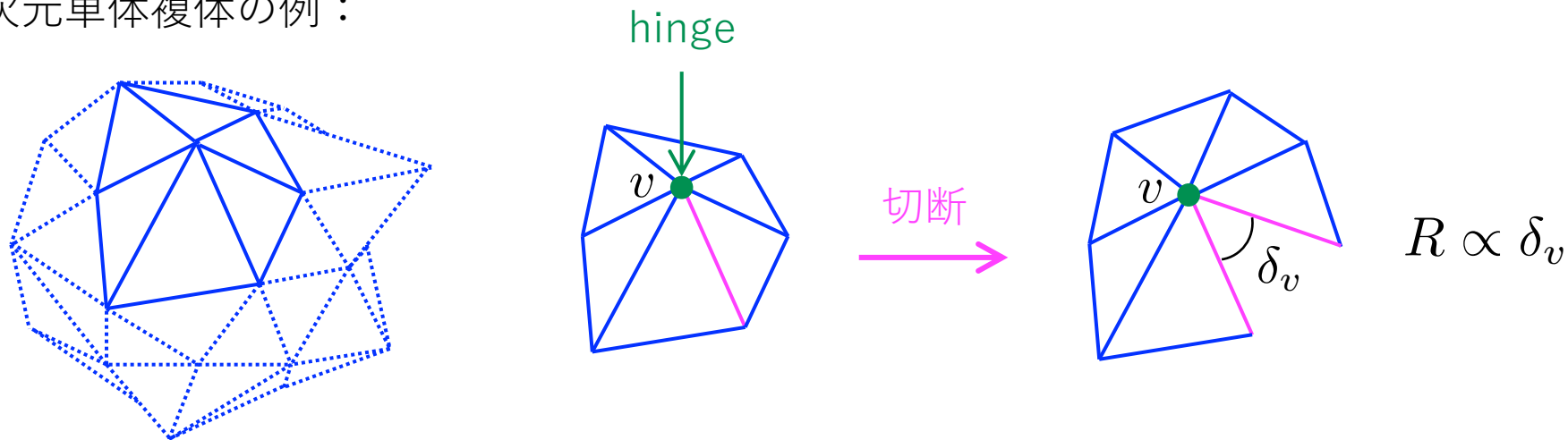
Regge Calculusとは？

連続時空を単体複体で近似して、座標を導入せず時空の力学を記述する方法

単体とは？



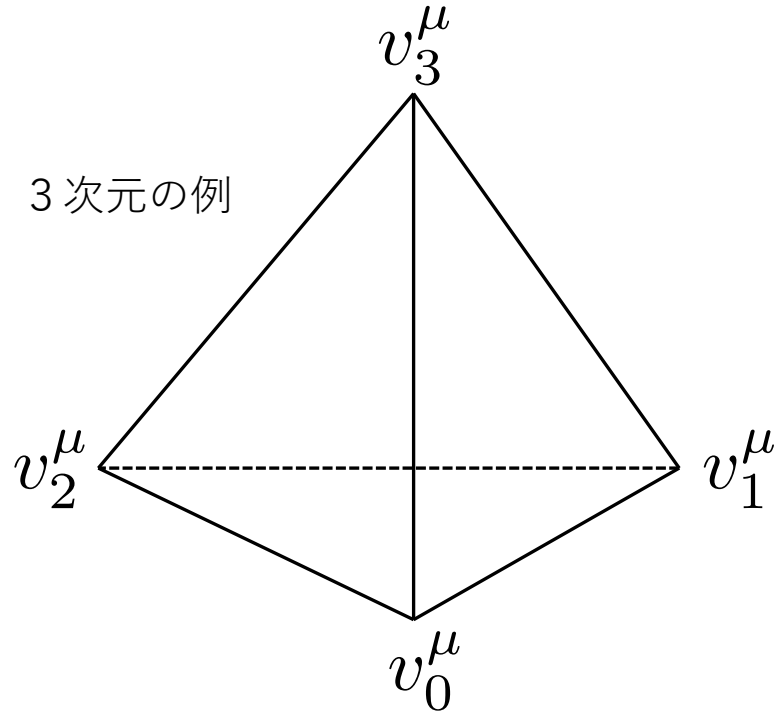
2次元単体複体の例：



Lorentz型 Regge Calculus

Lorentz型 Regge Calculus [Sorkin, 1975]

$\mathbb{R}^{1,d-1}$ に埋め込まれた d 次元単体 (σ_d) を考える：

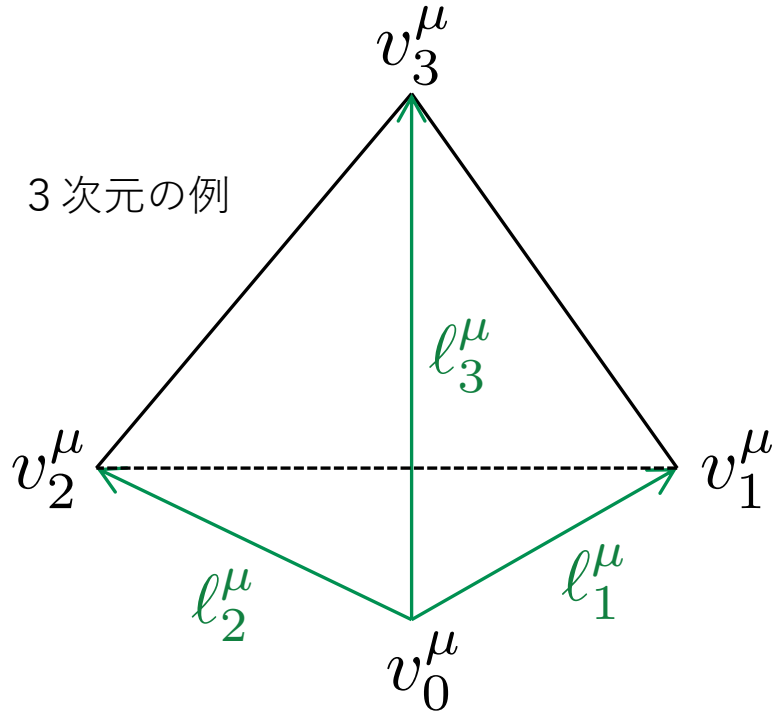


頂点の座標：

$$v_i^\mu \quad (i = 0, 1, \dots, d; \mu = 1, 2, \dots, d)$$

Lorentz型 Regge Calculus [Sorkin, 1975]

$\mathbb{R}^{1,d-1}$ に埋め込まれた d 次元単体 (σ_d) を考える：



頂点の座標：

$$v_i^\mu \quad (i = 0, 1, \dots, d; \mu = 1, 2, \dots, d)$$

Edgeベクトル：

$$l_a^\mu := v_a^\mu - v_0^\mu \quad (a = 1, \dots, d)$$

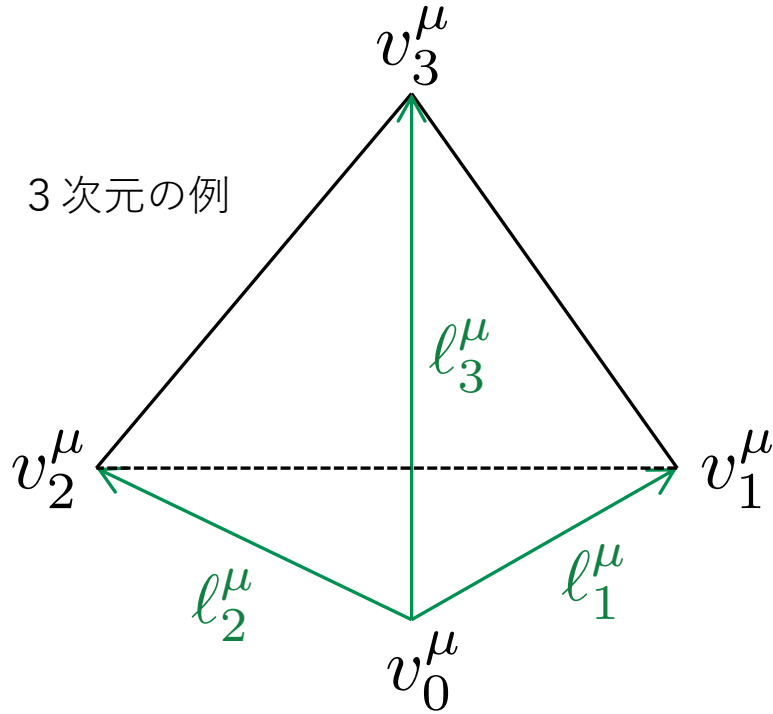
σ_d の内部座標：

$$x^\mu(\xi) = \xi^1 l_1^\mu + \xi^2 l_2^\mu + \dots + \xi^d l_d^\mu$$

$$(0 \leq \xi^1 + \dots + \xi^d \leq 1; 0 \leq \xi^a \leq 1)$$

Lorentz型 Regge Calculus [Sorkin, 1975]

$\mathbb{R}^{1,d-1}$ に埋め込まれた d 次元単体 (σ_d) を考える：



頂点の座標：

$$v_i^\mu \quad (i = 0, 1, \dots, d; \mu = 1, 2, \dots, d)$$

Edgeベクトル：

$$l_a^\mu := v_a^\mu - v_0^\mu \quad (a = 1, \dots, d)$$

σ_d の内部座標：

$$x^\mu(\xi) = \xi^1 l_1^\mu + \xi^2 l_2^\mu + \dots + \xi^d l_d^\mu$$

$$(0 \leq \xi^1 + \dots + \xi^d \leq 1; 0 \leq \xi^a \leq 1)$$

(正の向き付けを持つ) 基底ベクトル： $\{l_a^\mu\}_{a=1}^d$

$$(\partial/\partial\xi^a)^\mu := \frac{\partial x^\mu}{\partial \xi^a} = l_a^\mu$$

誘導計量テンソル：

Minkowski計量

$$g_{ab} = g(\partial/\partial\xi^a, \partial/\partial\xi^b) = \frac{\partial x^\mu}{\partial \xi^a} \frac{\partial x^\nu}{\partial \xi^b} \underline{g(\partial/\partial x^\mu, \partial/\partial x^\nu)} = l_a^\mu l_b^\nu \underline{\eta_{\mu\nu}} =: \langle l_a | l_b \rangle$$

Lorentz型 Regge Calculus [Sorkin, 1975]

(符号付) 自乗長さ :

$$s_{ij} := \langle v_i - v_j | v_i - v_j \rangle$$

Lorentz型 Regge Calculus [Sorkin, 1975]

(符号付) 自乗長さ :

$$s_{ij} := \langle v_i - v_j | v_i - v_j \rangle$$



$$s_{a0} = \langle \ell_a | \ell_a \rangle = g_{aa}$$

$$s_{ab} = \langle \ell_a - \ell_b | \ell_a - \ell_b \rangle = g_{aa} - 2g_{ab} + g_{bb}$$

$$g_{ab} = \frac{1}{2} (s_{a0} + s_{b0} - s_{ab})$$

誘導計量は (符号付) 自乗長さの関数となる

Lorentz型 Regge Calculus [Sorkin, 1975]

d次元単体 (σ_d) の体積について

$$V_{\sigma_d} = \int_{D(\sigma_d)} dx^1 dx^2 \cdots dx^d \quad (D(\sigma_d) : \text{単体 } \sigma_d \text{ の内部領域})$$
$$= \det(\ell_a^\mu) \int_{0 \leq \xi^1 + \xi^2 + \cdots + \xi^d \leq 1} d\xi^1 d\xi^2 \cdots d\xi^d \quad \left(\ell_a^\mu = \frac{\partial x^\mu}{\partial \xi^a} \right)$$

Lorentz型 Regge Calculus [Sorkin, 1975]

d次元単体 (σ_d) の体積について

$$\begin{aligned} V_{\sigma_d} &= \int_{D(\sigma_d)} dx^1 dx^2 \cdots dx^d && (D(\sigma_d) : \text{単体 } \sigma_d \text{ の内部領域}) \\ &= \det(\ell_a^\mu) \int_{0 \leq \xi^1 + \xi^2 + \cdots + \xi^d \leq 1} d\xi^1 d\xi^2 \cdots d\xi^d && \left(\ell_a^\mu = \frac{\partial x^\mu}{\partial \xi^a} \right) \\ &= \det(\ell_a^\mu) \int_0^1 d\xi^1 \int_0^{1-\xi^1} d\xi^2 \cdots \int_0^{1-\xi^1-\cdots-\xi^{d-1}} d\xi^d \end{aligned}$$

Lorentz型 Regge Calculus [Sorkin, 1975]

d次元単体 (σ_d) の体積について

$$\begin{aligned} V_{\sigma_d} &= \int_{D(\sigma_d)} dx^1 dx^2 \cdots dx^d && (D(\sigma_d) : \text{単体 } \sigma_d \text{ の内部領域}) \\ &= \det(\ell_a^\mu) \int_{0 \leq \xi^1 + \xi^2 + \cdots + \xi^d \leq 1} d\xi^1 d\xi^2 \cdots d\xi^d && \left(\ell_a^\mu = \frac{\partial x^\mu}{\partial \xi^a} \right) \\ &= \det(\ell_a^\mu) \underbrace{\int_0^1 d\xi^1 \int_0^{1-\xi^1} d\xi^2 \cdots \int_0^{1-\xi^1-\cdots-\xi^{d-1}} d\xi^d}_{= \frac{1}{d!}} \end{aligned}$$

cf. 多重積分に関するCauchyの公式：

$$\int_a^x dx_{n-1} \int_a^{x_{n-1}} dx_{n-2} \cdots \int_a^{x_1} f(x_0) dx_0 = \frac{1}{(n-1)!} \int_a^x (x-y)^{n-1} f(y) dy$$

Lorentz型 Regge Calculus [Sorkin, 1975]

d次元単体 (σ_d) の体積について

$$\begin{aligned} V_{\sigma_d} &= \int_{D(\sigma_d)} dx^1 dx^2 \cdots dx^d && (D(\sigma_d) : \text{単体 } \sigma_d \text{ の内部領域}) \\ &= \det(\ell_a^\mu) \int_{0 \leq \xi^1 + \xi^2 + \cdots + \xi^d \leq 1} d\xi^1 d\xi^2 \cdots d\xi^d && \left(\ell_a^\mu = \frac{\partial x^\mu}{\partial \xi^a} \right) \\ &= \frac{1}{d!} \det(\ell_a^\mu) > 0 \end{aligned}$$

Lorentz型 Regge Calculus [Sorkin, 1975]

d次元単体 (σ_d) の体積について

$$V_{\sigma_d} = \int_{D(\sigma_d)} dx^1 dx^2 \cdots dx^d \quad (D(\sigma_d) : \text{単体 } \sigma_d \text{ の内部領域})$$

$$= \det(\ell_a^\mu) \int_{0 \leq \xi^1 + \xi^2 + \cdots + \xi^d \leq 1} d\xi^1 d\xi^2 \cdots d\xi^d \quad \left(\ell_a^\mu = \frac{\partial x^\mu}{\partial \xi^a} \right)$$

$$= \frac{1}{d!} \det(\ell_a^\mu) > 0$$

$$= \frac{1}{d!} \sqrt{\underbrace{|\det(\eta_{\mu\nu})| \det(\ell_a^\mu) \det(\ell_b^\nu)}_{= 1}}$$

$$= \frac{1}{d!} \sqrt{|\det(g_{ab})|} \quad \text{体積も (符号付) 自乗長さの関数となる}$$

Lorentz型 Regge Calculus [Sorkin, 1975]

2つのベクトル間の複素角： $\theta = \psi + i\eta$ ($\eta \in \mathbb{R}$, $\psi \in [0, \pi]$)

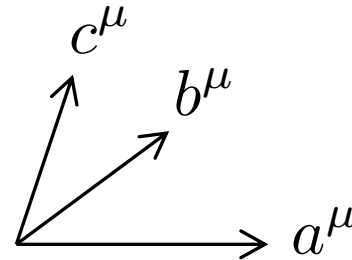
$$\cos \theta(a, b) = \frac{\langle a|b \rangle}{\sqrt{\langle a|a \rangle} \sqrt{\langle b|b \rangle}} \quad \sin \theta(a, b) = \frac{\sqrt{\langle a|a \rangle \langle b|b \rangle - \langle a|b \rangle^2}}{\sqrt{\langle a|a \rangle} \sqrt{\langle b|b \rangle}}$$

ただし, $\sqrt{-1} := i$

複素角も (符号付) 自乗長さの関数となる

加法性が成立する：

$$\theta(a, c) = \theta(a, b) + \theta(b, c)$$



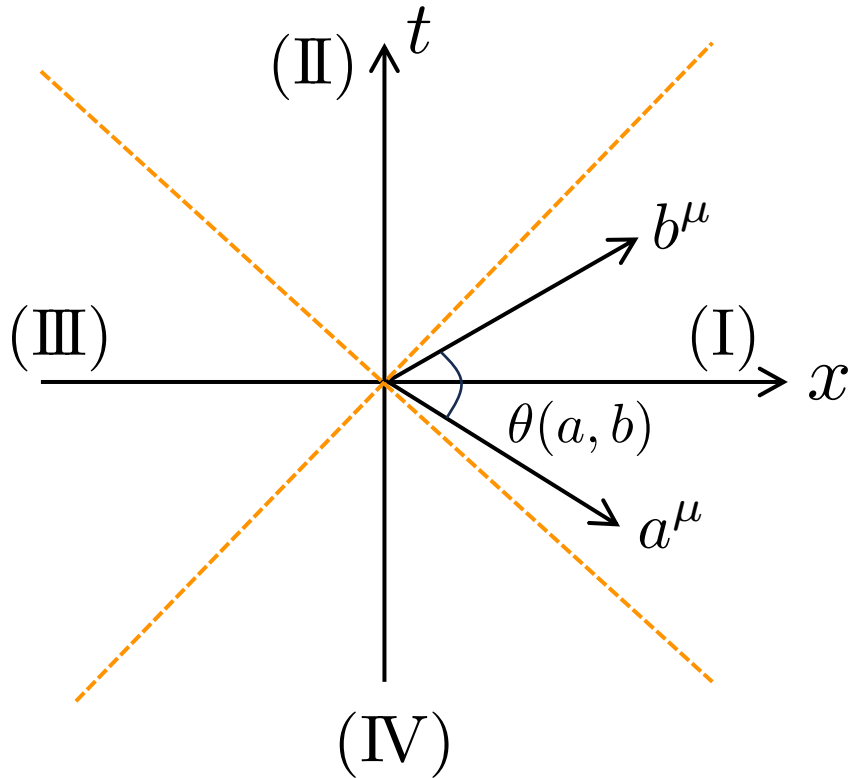
ψ と η は次の式から求められる：

$$\cos \theta = \cosh \eta \cos \psi - i \sinh \eta \sin \psi,$$

$$\sin \theta = \cosh \eta \sin \psi + i \sinh \eta \cos \psi$$

Lorentz型 Regge Calculus [Sorkin, 1975]

2つのベクトル間の複素角： $\theta = \psi + i\eta$ ($\eta \in \mathbb{R}$, $\psi \in [0, \pi]$)



(1) 2ベクトル間に光線がないとき

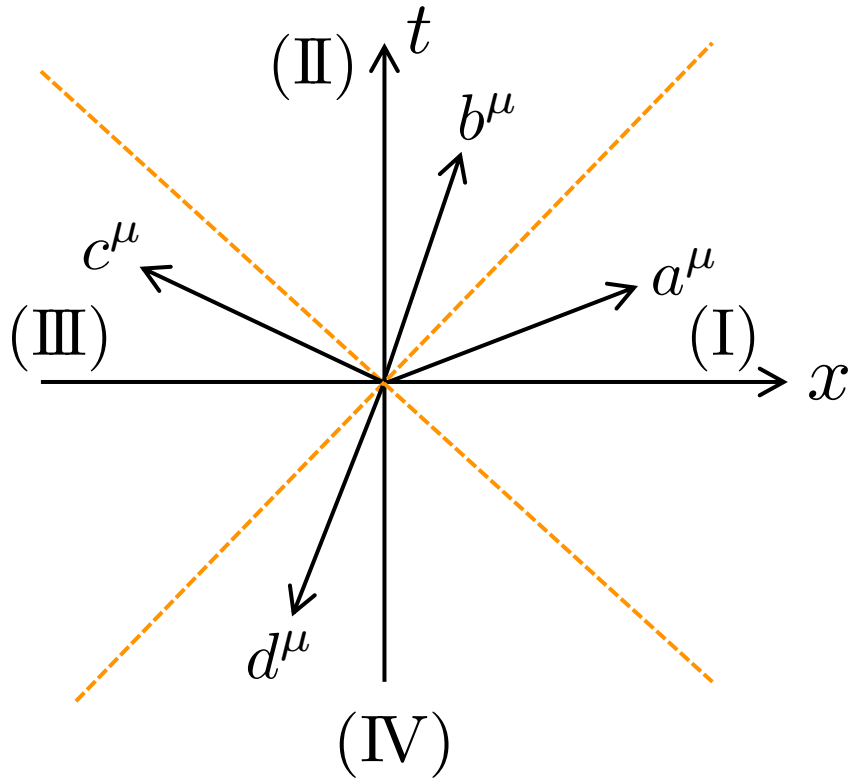
$$\theta = i\eta$$

(I) または (III)にいるとき： $\eta > 0$

(II) または (IV)にいるとき： $\eta < 0$

Lorentz型 Regge Calculus [Sorkin, 1975]

2つのベクトル間の複素角： $\theta = \psi + i\eta$ ($\eta \in \mathbb{R}$, $\psi \in [0, \pi]$)



(1) 2ベクトル間に光線がないとき

$$\theta = i\eta$$

(I) または (III)にいるとき： $\eta > 0$

(II) または (IV)にいるとき： $\eta < 0$

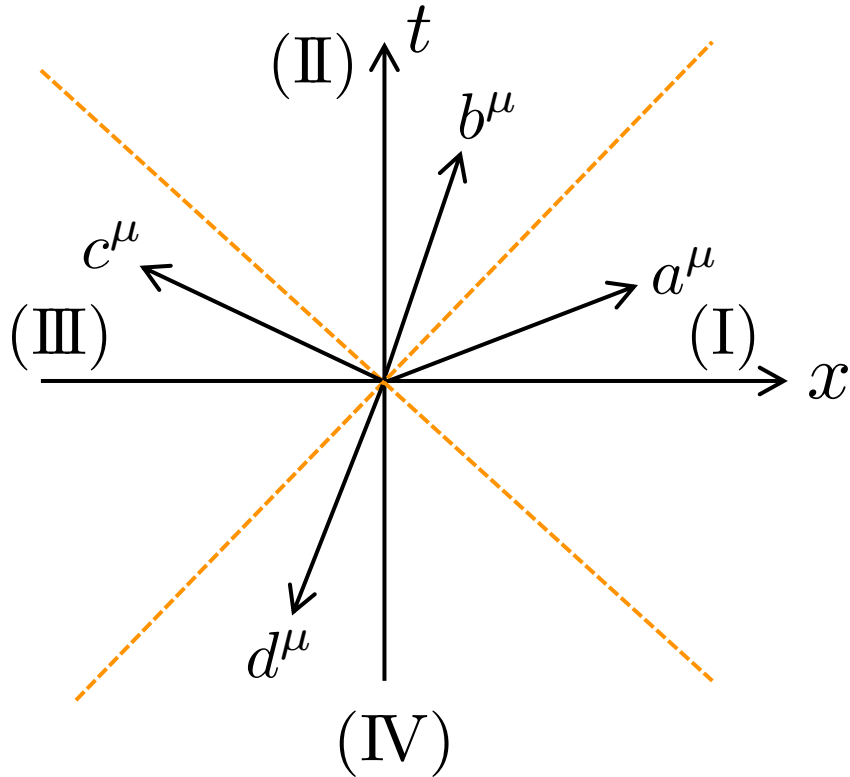
(2) 2ベクトル間に光線があるとき

$$\theta(a, b) = \frac{\pi}{2} + i\eta \quad (\text{光線 1 本})$$

$$\theta(a, c) = \pi + i\eta' \quad (\text{光線 2 本})$$

Lorentz型 Regge Calculus [Sorkin, 1975]

2つのベクトル間の複素角： $\theta = \psi + i\eta$ ($\eta \in \mathbb{R}$, $\psi \in [0, \pi]$)



(1) 2ベクトル間に光線がないとき

$$\theta = i\eta$$

(I) または (III)にいるとき： $\eta > 0$

(II) または (IV)にいるとき： $\eta < 0$

(2) 2ベクトル間に光線があるとき

$$\theta(a, b) = \frac{\pi}{2} + i\eta \quad (\text{光線 1 本})$$

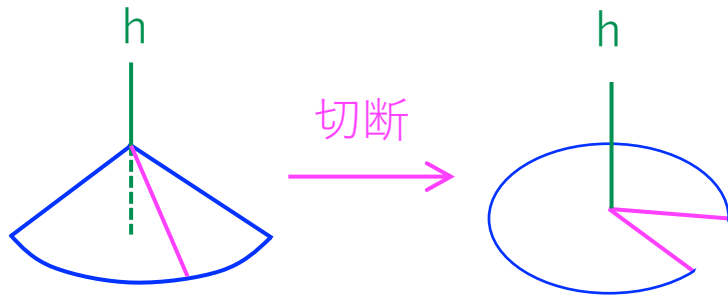
$$\theta(a, c) = \pi + i\eta' \quad (\text{光線 2 本})$$

複素角の和：

$$\theta(a, b) + \theta(b, c) + \theta(c, d) + \theta(d, a) = 2\pi$$

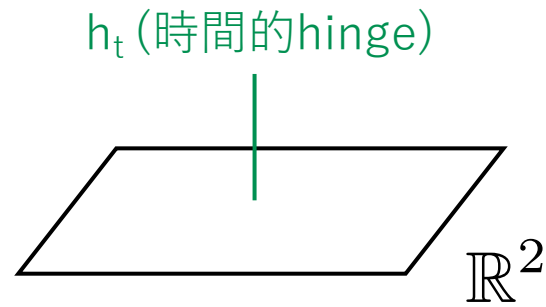
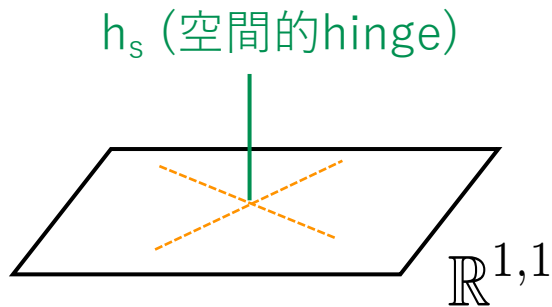
Lorentz型 Regge Calculus [Sorkin, 1975]

復習：時空の曲率は余次元2の単体 (=hinge) での円錐特異点で表される



曲率はhingeに直交する2次元面での欠損角に比例する

hingeに直交する2次元面は2次元Minkowski時空か2次元Euclid空間になる



→ この思想のもと、4次元で作用を構成してみる

Lorentz型 Regge Calculus [Sorkin, 1975]

(i) 時間的hinge (h_t) 周りの計量テンソル

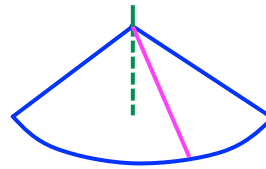
$$g_{\mu\nu} dx^\mu dx^\nu = \underbrace{-dt^2 + dx^2}_{\text{hinge } (h_t)} + \underbrace{dr^2 + r^2 \left(1 - \frac{\psi_{h_t}}{2\pi}\right)^2 d\phi^2}_{\text{regge triangle}}$$

Lorentz型 Regge Calculus [Sorkin, 1975]

(i) 時間的hinge (h_t) 周りの計量テンソル

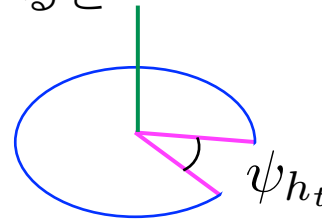
$g_{\phi\phi}$

$$g_{\mu\nu} dx^\mu dx^\nu = \underbrace{-dt^2 + dx^2}_{\text{hinge } (h_t)} + \underbrace{dr^2 + r^2 \left(1 - \frac{\psi_{h_t}}{2\pi}\right)^2}_{g_{\phi\phi}} d\phi^2$$



hingeの周りを (距離をrに保ち) 一周すると

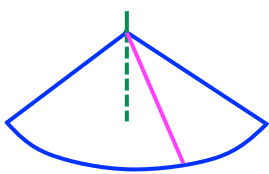
$$\int_0^{2\pi} d\phi \sqrt{g_{\phi\phi}} = (2\pi - \psi_{h_t})r$$



Lorentz型 Regge Calculus [Sorkin, 1975]

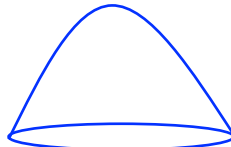
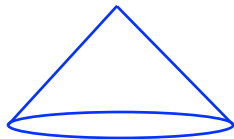
(i) 時間的hinge (h_t) 周りの計量テンソル

$g_{\phi\phi}$

$$g_{\mu\nu} dx^\mu dx^\nu = \underbrace{-dt^2 + dx^2}_{\text{hinge } (h_t)} + \underbrace{dr^2 + r^2 \left(1 - \frac{\psi_{h_t}}{2\pi}\right)^2}_{g_{\phi\phi}} d\phi^2$$


円錐特異点を正則化する：

$$g_{\phi\phi} = r^2 \left(1 - \frac{\psi_{h_t}}{2\pi}\right)^2 \Rightarrow e^{2\lambda(r)}$$



ここで

$$e^{2\lambda(r)}|_{r \gg 1} \sim r^2 \left(1 - \frac{\psi_{h_t}}{2\pi}\right)^2$$

$$e^{2\lambda(r)}|_{r \ll 1} \sim r^2$$

Lorentz型 Regge Calculus [Sorkin, 1975]

$$R = -2(\lambda'' + (\lambda')^2), \quad \sqrt{-\det(g_{\mu\nu})} = e^\lambda \quad \text{より}$$

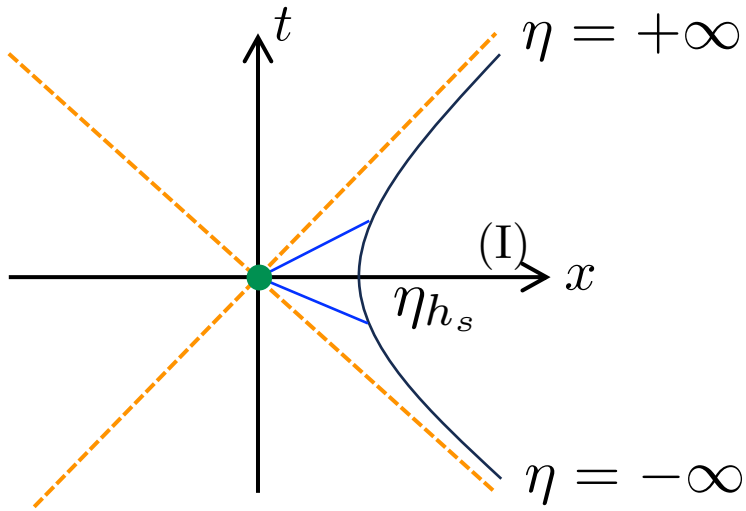
$$\sqrt{-\det(g_{\mu\nu})}R = -2(e^\lambda)''$$

従って

$$\begin{aligned} \int d^4x \sqrt{-\det(g_{\mu\nu})}R &= \underbrace{\int_{D(h_t)} dt dx}_{V_{ht}} \int_0^{2\pi} d\phi \int_0^\infty dr (-2(e^\lambda)'') \\ &= 2\psi_{h_t} V_{h_t} \end{aligned}$$

Lorentz型 Regge Calculus [Sorkin, 1975]

(ii) 空間的hinge (h_s) 周りの時空を考える

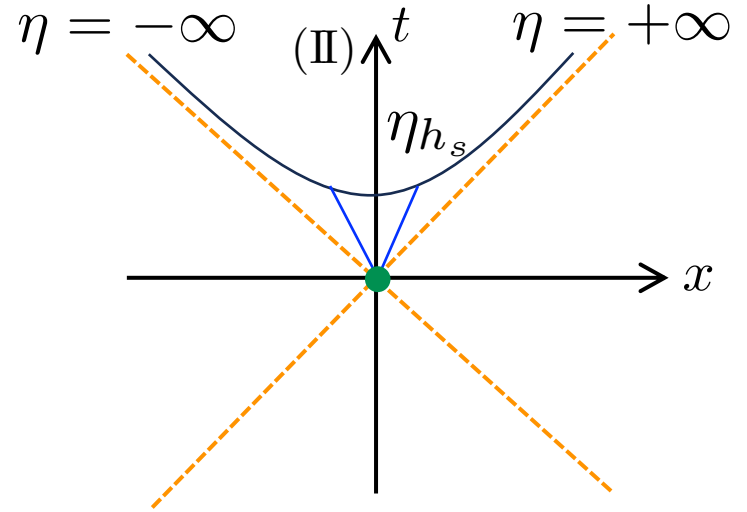


$$t = r \sinh \eta, \quad x = r \cosh \eta$$

空間的欠損



$$\int d^4x \sqrt{-\det(g_{\mu\nu})} R = 2\eta_{h_s} V_{h_s}$$



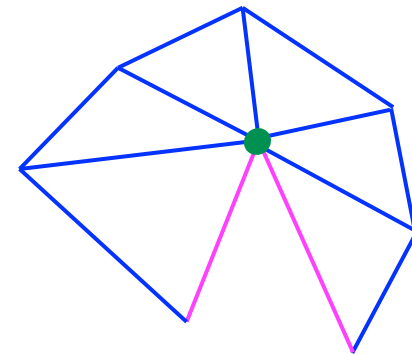
$$t = r \cosh \eta, \quad x = r \sinh \eta$$

時間的欠損



$$\int d^4x \sqrt{-\det(g_{\mu\nu})} R = -2\eta_{h_s} V_{h_s}$$

Lorentz型 Regge Calculus [Sorkin, 1975]



Lorentz型 Regge 作用

$$S = \kappa \sum_h V_h \epsilon_h - \lambda \sum_\sigma V_\sigma$$

ここで

$$\epsilon_h = e^{i\varphi(h)} \left(2\pi - \sum_{\sigma \ni h} \theta_{\sigma, h} \right)$$

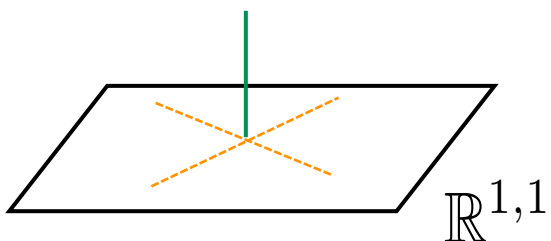
$$\varphi(h_s) = -\frac{\pi}{2}, \quad \varphi(h_t) = 0$$

ψ_{h_t} または $i\eta_{h_s}$

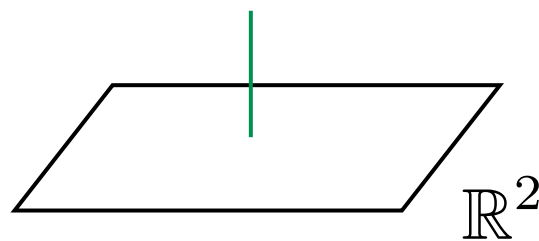
空間的欠損: $\eta_{h_s} > 0$
 時間的欠損: $\eta_{h_s} < 0$

実

h_s (空間的hinge)



h_t (時間的hinge)



cf. 複素角

$$\theta = \psi + i\eta$$

Lorentz型 Regge Calculus [Sorkin, 1975]

Lorentz型 Regge 作用

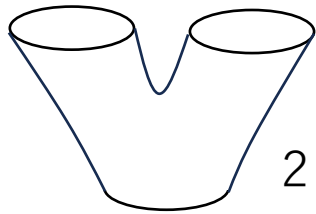
$$S = \kappa \sum_h V_h \epsilon_h - \lambda \sum_\sigma V_\sigma$$

ここで

$$\epsilon_h = e^{i\varphi(h)} \left(2\pi - \sum_{\sigma \ni h} \theta_{\sigma, h} \right) \quad \varphi(h_s) = -\frac{\pi}{2}, \quad \varphi(h_t) = 0$$

空間的hingeに直交する面に存在する光線の数が4本でないとき作用に虚部が出現

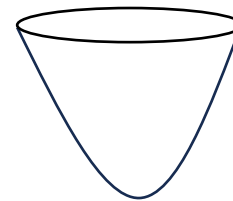
(i) 光線の数 > 4 (“Trouser-like”)



2次元の例

$e^{iS} \sim$ 抑制

(ii) 光線の数 < 4 (“Yarmulke-like”)



2次元の例

$e^{iS} \sim$ 増大

Lorentz型 Quantum Regge Calculus

Lorentz型 Quantum Regge Calculus

経路積分

$$Z = \int \mathcal{D}g e^{iS_{\text{EH}}[g]}$$

Lorentz型 Quantum Regge Calculus

経路積分

$$Z = \int \underbrace{\mathcal{D}g}_{\text{離散化}} \underbrace{e^{iS_{\text{EH}}[g]}}_{\text{離散化}}$$

離散化

$$e^{iS[\{\ell^2\}]}$$

$$\Theta(\text{constraints}) f(\ell_1^2, \ell_2^2, \dots) \prod_{e \in \text{edges}} d\ell_e^2$$

fを選ぶ

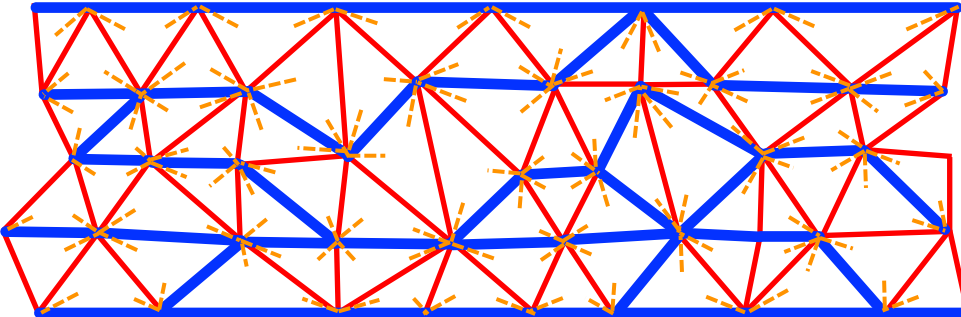
$$\Theta(\text{constraints}) \prod_{\sigma} (V_{\sigma})^{\beta} \prod_{e \in \text{edges}} d\ell_e^2$$

Lorentz型 Quantum Regge Calculus

因果律 (Causality) をどう考えるか？

— : 空間的辺
— : 時間的辺

(i) hinge causality (hingeに直交する2次元面に光線4本)

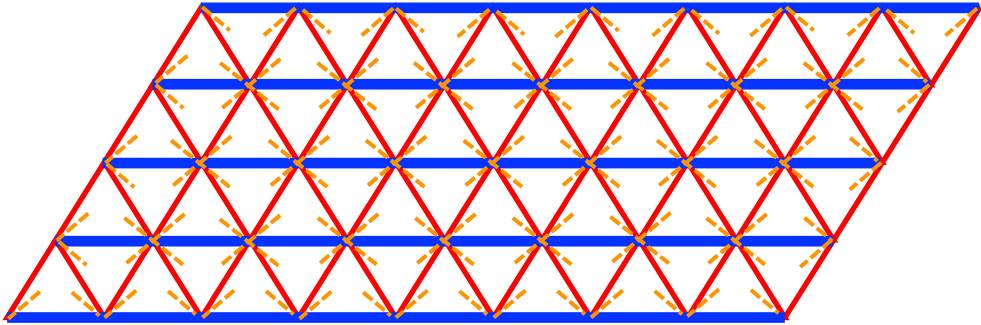


各頂点に4本の光線

cf. locally causal dynamical triangulations [Roll-Ruijl, 2015]

→ 閉じた時間的曲線の存在は禁止されない

(ii) 大域的雙曲性



各頂点に4本の光線

かつ

閉じた時間的曲線はない

以降は論文未投稿のため
共有版で削除しました
(すみません…)